

УДК 532.536

## **О КАТЯЩИХСЯ УЕДИНЕННЫХ ВОЛНАХ НА НАКЛОННОЙ ПЛОСКОСТИ И ИХ УСТОЙЧИВОСТИ\***

**Е.М. ШАПАРЬ, Е.Н. КАЛАЙДИН, Е.А. ДЕМЕХИН**

*Кубанский государственный университет, Краснодар*

Представлена система гидравлических уравнений Дресслера для описания трехмерных возмущений. Рассматривалась идея Дресслера об отсутствии сингулярности решений для исследования устойчивости двумерных катящихся волн к двумерным и трехмерным возмущениям, построены спектры. Получен результат об устойчивости стационарных катящихся волн типа солитонов.

Боры или катящиеся волны в каналах и реках существенно меняют динамику русла, и поэтому их исследования важны с практической точки зрения. В 1934 году в работе [1] проводилось наблюдение и описывались катящиеся волны в каналах. Согласно наблюдениям [1], когда вода стекает вниз по наклонному открытому каналу, течение характеризуется квазидвумерными катящимися волнами или борами. Волны двигаются по всей ширине канала и распространяются вниз по течению. Такой тип волн не зависит от поверхностного натяжения и может существовать и в турбулентном, и в ламинарном режимах течения. Для возникновения волн важны два фактора: угол наклона поверхности должен быть достаточно велик для проявления неустойчивости течения; влияние поверхностного натяжения, которое стабилизирует поток, должно быть пренебрежимо малым.

Спустя 15 лет в [2] вывели упрощенную версию гидравлических уравнений, которые описывают катящиеся волны. Исследование катящихся волн можно найти также и в [3]. Несмотря на длинную историю наблюдений за катящимися волнами, остается множество теоретических открытых вопросов. В частности, отсутствуют систематическое исследование двумерных катящихся волн типа уединенных, обобщение системы уравнений и условий на скачке на случай трехмерной задачи, исследования устойчивости катящихся волн к двумерным и трехмерным возмущениям.

1. Используя методологию работ Демехина и Шкадова, легко обобщить систему Сен–Венана для описания трехмерных волн в течении, направленном под углом  $\theta$  к горизонту. Принимая в качестве базовых величин среднерасходную скорость плоского течения  $u_0$ , его толщину  $h_0$  и плотность жидкости  $\rho$ , такую систему можно записать в виде:

---

\* Работа выполнена при финансовой поддержке РФФИ (грант 05-08-33585-а).

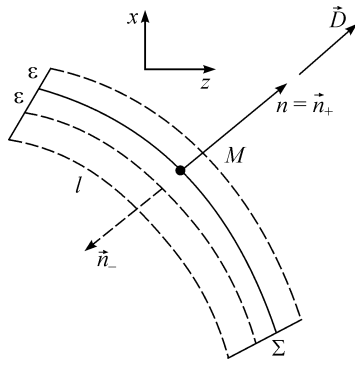


Рис. 1. Представление условия на скачке.

$$\begin{cases} \frac{\partial q}{\partial t} + \frac{\partial}{\partial x} \left( \frac{q^2}{h} \right) + \frac{\partial}{\partial z} \left( \frac{qp}{h} \right) + Gh \frac{\partial h}{\partial x} = h - \frac{q\sqrt{q^2 + p^2}}{h^2}, \\ \frac{\partial p}{\partial t} + \frac{\partial}{\partial x} \left( \frac{qp}{h} \right) + \frac{\partial}{\partial z} \left( \frac{p^2}{h} \right) + Gh \frac{\partial h}{\partial z} = -\frac{p\sqrt{q^2 + p^2}}{h^2}, \\ \frac{\partial h}{\partial t} + \frac{\partial q}{\partial x} + \frac{\partial p}{\partial z} = 0, \end{cases} \quad (1)$$

где  $q$  и  $p$  — расходы жидкости в направлении действия силы тяжести  $x$  и нормальному направлению  $z$ ,  $h$  — толщина слоя.

После растяжения временной и пространственной переменных,  $t = \kappa\tau$ ,  $x = \kappa\xi$ ,  $\theta \neq 0$ ,  $\kappa = 1/c_f = \text{Fr}^2/\sin\theta$ , система имеет только один безразмерный параметр  $G = gh_0 \cos\theta/U_0^2 = \cos\theta/\text{Fr}^2$  ( $G$  — безразмерная сила тяжести), где число Фруда  $\text{Fr}^2 = U_0^2/gh_0$ .

Выведем условия на скачке. Для этого предположим, что имеется некоторая кривая  $f(x, z, t) = 0$  или  $x - r(z, t) = 0$ , вдоль которой существует разрыв гидродинамических величин. Возьмем малую окрестность  $\Omega$  некоторой точки  $M$ , лежащей на кривой (рис. 1). Обозначим  $l$  часть кривой в окрестности  $M$ ,  $\vec{n}$  — нормаль, направленная в сторону движения. Отложим на нормали по обе стороны  $l$  сегменты длиной  $\varepsilon$ . Пусть  $\Sigma$  — кривая вдоль области  $\Omega$ . Условие сохранения некоторой величины  $A$  внутри области  $\Omega$  описывается уравнением

$$\partial\rho/\partial t + \text{div}\vec{A} = 0.$$

Будем двигаться со скоростью  $\vec{D}$ , с которой распространяется разрыв  $f = 0$  в точке  $M$ . Тогда данное уравнение примет вид

$$-D(\partial\rho/\partial n) + \text{div}\vec{A} = 0.$$

Допустим, что величины  $\vec{A}$  и  $\rho$  испытывают скачок  $[A]$  и  $[\rho]$  при переходе через  $f = 0$ . Будем обозначать величины перед скачком знаком “ $-$ ” и за скачком — знаком “ $+$ ”. Проинтегрировав последнее соотношение по области  $\Omega$  и используя теорему Гаусса, получим:

$$\begin{aligned} \int_{\Omega} \text{div}\vec{A} d\omega &= \int_{\Sigma} \vec{A}\vec{n} dl = l(\vec{A}_-\vec{n}_- + \vec{A}_+\vec{n}_+) = (\vec{A}_+ - \vec{A}_-)\vec{n}l \\ \int_{\Omega} (\partial\rho/\partial n) d\omega &= \int_{\Sigma} dl \int_{-\varepsilon}^{+\varepsilon} (\partial\rho/\partial n) dn = l(\rho_+ - \rho_-). \end{aligned}$$

Как результат, устремляя  $l$  и  $\varepsilon$  к нулю, получим в точке  $M$  условие на скачке в трехмерном случае.

$$-D[\rho] + [\vec{A}\vec{n}] = 0$$

$$\vec{n} = (1/(1+r_z^2)^{1/2}, -r_z/(1+r_z^2)^{1/2}) = (n_x, n_z), \quad D = r_t/(1+r_z^2)^{1/2}.$$

Таким образом, условия на скачке будут иметь вид:

$$\begin{cases} -D[h] + [q]n_x + [p]n_z = 0, \\ -D[q] + \left[ q^2/h + 1/2 Gh^2 \right] n_x + [qp/h] n_z = 0, \\ -D[p] + [qp/h] n_x + \left[ p^2/h + 1/2 Gh^2 \right] n_z = 0. \end{cases} \quad (2)$$

Система (1) всегда имеет тривиальное решение  $h = 1, q = 1, p = 0$ .

2. Катящиеся стационарные двумерные волны можно рассматривать как цепочку слабо взаимодействующих солитонов, для которых  $\partial/\partial z = 0, p = 0, \partial/\partial t = -c\partial/\partial x$ . Для уединенной волны —  $h \rightarrow 1$  при  $x \rightarrow \pm\infty$ . Уравнение неразрывности может быть проинтегрировано,  $q = 1 + c(h - 1)$ . Подстановка этого соотношения в первое уравнение системы (1) дает обыкновенное дифференциальное уравнение первого порядка

$$\frac{dh}{dx} = \frac{h^3 - (ch - c + 1)^2}{G \left[ h^3 - (c-1)^2/G \right]}, \quad (3)$$

которое имеет особенность при знаменателе, равном нулю, —  $Gh^3 - (c-1)^2 = 0$ . Для ее устранения применим известный подход из работы [2]. Разложив числитель и знаменатель на множители:

$$h^3 - (ch - c + 1)^2 = (h-1)(h-h_1)(h-h_2),$$

$$h^3 - (c-1)^2/G = (h-b)(h^2 + bh + b^2),$$

$$h_1 = 1/2[c+1 + \sqrt{(c+3)(c-1)}](c-1), \quad (4)$$

$$h_2 = 1/2[c+1 - \sqrt{(c+3)(c-1)}](c-1), \quad (5)$$

$$b = (c-1)^{2/3}/G^{1/3},$$

при  $h_1 = b$  получаем известное решение Дресслера для солитона

$$1/2[c+1 + \sqrt{(c+3)(c-1)}](c-1) = (c-1)^{2/3}/G^{1/3}. \quad (6)$$

Решение этого нелинейного алгебраического уравнения дает зависимость  $c = c(G)$ , которую можно разрешить относительно  $c$  только численно. В пределе  $G \rightarrow 0$  можно получить аналитическое разложение

$$c = G^{-1/4} \left( 1 - 1/2 G^{1/4} + 9/8 G^{1/2} + \dots \right)$$

так, что для вертикального стекания  $G \rightarrow 0, c \rightarrow \infty$ . После устранения особенности получим уравнение для солитонов

$$dh/dx = 1/G \left[ (h-1)(h-h_2)/(h^2 + bh + b^2) \right], \quad (7)$$

решение которого может быть найдено аналитически,  $x = x(h)$ .

Для определения амплитуды волны используем условие на скачке или так называемое слабое решение:

$$\begin{aligned} -cq_{\max} + q_{\max}^2/h_{\max} + 1/2 Gh_{\max}^2 + c - 1 - 1/2 G = 0, \\ q_{\max} = ch_{\max} - c + 1. \end{aligned} \quad (8)$$

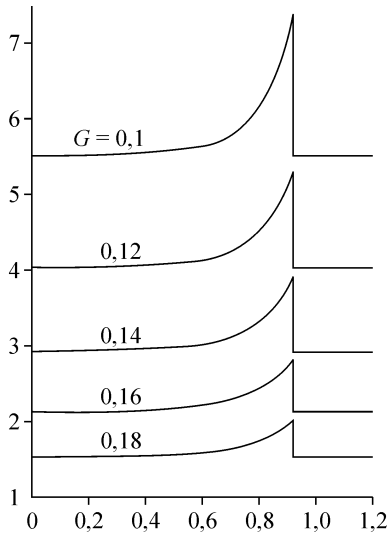


Рис. 2. Профили катящихся волн типа солитонов.

Из этого соотношения получаем квадратное уравнение относительно амплитуды  $h_{\max}$ , решение которого дает

$$h_{\max} = -1/2 + \sqrt{1/4 + 2(c-1)^2/G}. \quad (9)$$

Профили уединенных волн при разных значениях  $G$  приведены на рис. 2.

3. Решение нестационарной линеаризованной около двумерного солитона задачи может быть представлено как суперпозиция собственных функций задачи на собственные значения. В силу бесконечной области линейного оператора в дополнение к дискретной части спектра добавляется непрерывная часть спектра (см. [5]). Собственные функции

дискретного спектра локализованы около горба волны, в то время, как функции непрерывного спектра ограничены при  $x = \pm\infty$ , где они ведут себя синусоидально [6].

Из всех этих элементов спектра рассмотрим только дискретные собственные функции и соответствующие им собственные значения, ответственные за устойчивость или неустойчивость катящихся волн.

Предположим, что разрыв расположен при  $x - ct = 0$ . Воздействуем на него трехмерным малым возмущением так, что расположение разрыва сместится [7] в  $x - ct - \hat{r}(z, t) = 0$ ; здесь и ниже символом “^” обозначены возмущенные величины. На положительной стороне скачка:

$$q^+ = q_{\max} + q'_{\max} \hat{r} + \hat{q}^+, \quad h^+ = h_{\max} + h'_{\max} \hat{r} + \hat{h}^+, \quad \hat{p}^+ = \hat{p}^+,$$

где первый член соответствует невозмущенному решению, второй — возмущению за счет сдвига разрыва, третий — обычной части возмущения.

На отрицательной стороне скачка, где невозмущенные движения плоско-параллельны,

$$p^- = \hat{p}^-, \quad q^- = 1 + \hat{q}^-, \quad h^- = 1 + \hat{h}^-.$$

Теперь можно подсчитать скачки величин:

$$[q]_{x=0} = q_{\max} - 1 + ch'_{\max} \hat{r} + \hat{q}^+ - \hat{q}^-,$$

$$[p]_{x=0} = \hat{p}^+ - \hat{p}^-, \quad [h]_{x=0} = \hat{h}^+ - \hat{h}^-.$$

$D$  является возмущенной скоростью  $c$ ,  $D = c + \hat{r}_t$ . В силу линейности возмущенной системы и того факта, что коэффициенты этой системы не зависят от  $t$  и  $z$ , мы можем искать элементарное решение в форме:

$$\hat{r} \rightarrow \hat{r} e^{i\beta z + \lambda t}; \quad \hat{h} \rightarrow \hat{h} e^{i\beta z + \lambda t}, \quad i\hat{p} = \hat{p}.$$

Здесь  $\beta$  — волновое число в направлении  $z$ ,  $\lambda$  — коэффициент роста (затухания), являющийся собственным значением задачи. При  $\lambda > 0$  — двумерная

волна неустойчива, в случае  $\lambda < 0$  — она устойчива. Условие на скачке для невозмущенного двумерного решения описывается уравнением (11) (см. ниже).

Условия на скачке для трехмерных возмущений этого решения получаются линеаризацией соотношений (2) около двумерного скачка (см. [8, 9]) (11) и имеют вид:

$$\begin{aligned} -c(\hat{h}^+ - \hat{h}^-) - \lambda \hat{h}(h_{\max} - 1) + (\hat{q}^+ - \hat{q}^-) &= 0, \\ -c(\hat{q}^+ - \hat{q}^-) - \lambda c(h_{\max} - 1)\hat{r} - \left(\frac{q_{\max}^2}{h_{\max}^2}\right)\hat{h}^+ + \hat{h}^- + (2q_{\max}/h_{\max})\hat{q}^+ - \\ -2\hat{q}^- - \left((c-1)^2/h_{\max}^2\right)h'_{\max}\hat{r} + Gh_{\max}h'_{\max}\hat{r} + Gh_{\max}\hat{h}^+ - G\hat{h}^- &= 0, \\ -c(\pi^+ - \pi^-) + (q_{\max}/h_{\max})\pi^+ - \pi^- - 1/2 \beta Gh_{\max}^2 \hat{r} &= 0. \end{aligned} \quad (10)$$

Теперь рассмотрим решение в области течения перед разрывом  $-\infty < x < 0$ . Окончательно решение в этой области описывается системой уравнений (опускаем знак “-”) для  $\hat{q}^+$ ,  $\hat{\pi}^+$  и  $\hat{h}^+$ :

$$\begin{cases} \lambda \hat{q} + \frac{q}{dx} \left( 2\frac{q}{h}\hat{q} - \frac{q^2}{h^2}\hat{h} - c\hat{q} \right) + \beta \frac{q}{h}\pi + G(h\hat{h})_x = \hat{h} + \frac{2q^2\hat{h} - 2qh\hat{q}}{h^3}, \\ \lambda \hat{\pi} + \frac{d}{dx} \left( \frac{q}{h}\hat{\pi} - c\hat{\pi} \right) - \beta Gh\hat{h} = -\frac{\hat{\pi}q}{h^2}, \\ \lambda \hat{h} + \frac{d}{dx} (\hat{q} - c\hat{h}) + \beta \hat{\pi} = 0. \end{cases} \quad (11)$$

Система для  $\hat{q}^-$ ,  $\hat{\pi}^-$  и  $\hat{h}^-$ , при  $0 < x < +\infty$  (знак “-” опускаем), является линейной системой с постоянными коэффициентами

$$\begin{cases} h\hat{q} + 2\hat{q} - \hat{h}' - c\hat{q}' + \beta \hat{\pi} + G\hat{h}' = 3\hat{h} - 2\hat{q}, \\ \lambda \hat{\pi} + \hat{\pi}' - c\hat{\pi}' - \beta G\hat{h} = -\hat{\pi}, \\ \lambda \hat{h} + \hat{q}' - c\hat{h}' + \beta \hat{\pi} = 0, \end{cases} \quad (12)$$

так что ищем решение в форме  $\hat{h} = e^{\sigma x}$ ,  $\hat{q} = \hat{Q}e^{\sigma x}$ ,  $\hat{\pi} = \hat{P}e^{\sigma x}$ . Исключая  $\hat{Q}$  и  $\hat{P}$ , получаем дисперсионное соотношение

$$\begin{aligned} (-3c^2 + G - 1 - cG + 3c + c^3)\sigma^3 + (5c + \lambda G - 3\lambda + 6\lambda c - 3 - 3\lambda c^2 - 2c^2)\sigma^2 + \\ + (3\lambda^2 c + 4\lambda c - 3\lambda^2 + \beta^2 Gc - 5\lambda - \beta^2 G)\sigma - 2\lambda^2 - \beta^2 G\lambda - \lambda^3 - 2\beta^2 G = 0. \end{aligned} \quad (13)$$

Приемлемыми являются только решения, затухающие при  $x \rightarrow \pm\infty$ , и соответствующие им значения  $\sigma$ . Дисперсионное соотношение (13) имеет три корня при фиксированном  $\lambda$ . Мы исследуем детально случай  $\lambda < 0$ , при  $\lambda > 0$  анализ проводится аналогично.

Один из корней  $\sigma_k$ , обозначенный  $\sigma_1$ , всегда действителен. Другие два корня либо действительны, либо комплексно сопряжены, но их действительные части всегда отрицательны при  $\lambda < 0$ .

$$\sigma_1 > 0, \quad \text{Real}(\sigma_{2,3}) < 0.$$

При малых  $\beta$  величины  $\sigma_2$  и  $\sigma_3$  действительны, но при достаточно большом  $\beta > \beta_*$  они комплексно сопряжены.

Рассмотрим решение в области  $-\infty < x < 0$ . Введем обозначения:

$$\begin{aligned} d/dx(q/h) &= ((c-1)/h^2)h' \equiv D_1, \quad q/h \equiv D_0, \\ d/dx(q^2/h^2) &= 2(q(c-1)/h^3)h' \equiv D_2, \end{aligned}$$

запишем уравнения (11) в виде:

$$\begin{cases} \lambda\hat{q} + 2D_1\hat{q} + 2D_0\hat{q}' - D_2\hat{h} - D_0^2\hat{h}' - c\hat{q}' + \\ + \beta D_0\hat{\pi} + Gh'\hat{h} + Gh\hat{h}' = \hat{h} + 2\frac{q^2}{h^3}\hat{h} - 2\frac{q}{h^2}\hat{q}, \\ \lambda\hat{\pi} + D_1\hat{\pi} + D_0\hat{\pi}' - \beta Gh\hat{h} = -\frac{q}{h^2}\hat{p}, \\ \lambda\hat{h} + \hat{q}' - c\hat{h}' + \beta\hat{\pi} = 0. \end{cases} \quad (14)$$

Выразим  $\hat{\pi}$  из последнего уравнения

$$\hat{\pi} = -(\lambda/\beta)\hat{h} - (1/\beta)\hat{q}' + (c/\beta)\hat{h}'$$

и запишем систему в виде

$$\begin{pmatrix} 2D_0 - c & -D_0^2 + Gh & 0 \\ 1 & -c & 0 \\ 0 & 0 & D_0 - c \end{pmatrix} \begin{pmatrix} \hat{q}' \\ \hat{h}' \\ \hat{\pi}' \end{pmatrix} = \begin{pmatrix} b_1 \\ b_2 \\ b_3 \end{pmatrix}.$$

Прежде всего разрешим систему относительно  $\hat{h}$ ,  $\hat{q}$  и  $\hat{\pi}$ . Обозначим:

$$b_1 = (-\lambda - 2D_1 - 2(q/h^2))\hat{q} + (D_2 - Gh' + 1 + 2(q^2/h^3))\hat{h} - \beta D_0\hat{\pi}, \quad (15)$$

$$b_2 = -\lambda\hat{h} - \beta\hat{\pi},$$

$$b_3 = \beta Gh\hat{h} - \lambda\hat{\pi} - D_1\hat{\pi},$$

$$A = \begin{bmatrix} 2(ch+1-c)/h-c & -(ch+1-c)^2/h^2 + Gh & 0 \\ 1 & -c & 0 \\ 0 & 0 & (ch+1-c)/h-c \end{bmatrix},$$

$$\Delta = (c-1)(Gh^3 - (c-1)^2)/h^3,$$

$$\Delta\hat{q}' = \begin{bmatrix} b_1 & -D_0^2 + Gh & 0 \\ b_2 & -c & 0 \\ b_3 & 0 & D_0 - c \end{bmatrix} = -b_1cD_0 + b_1c^2 + b_2D_0^2c - b_2GhD_0 + b_2Ghc,$$

$$\Delta\hat{h}' = \begin{bmatrix} 2D_0 - c & b_1 & 0 \\ 1 & b_2 & 0 \\ 0 & b_3 & D_0 - c \end{bmatrix} = 2b_2D_0^2 - 3b_2D_0c + b_2c^2 - b_1D_0 + b_1c,$$

$$\Delta \hat{\pi}' = \begin{bmatrix} 2D_0 - c & -D_0^2 + Gh & b_1 \\ 1 & -c & b_2 \\ 0 & 0 & b_3 \end{bmatrix} = -2cb_3D_0 + c^2b_3 + b_3D_0^2 - b_3Gh.$$

Видно, что система снова имеет особенность при  $\Delta = 0$ , а именно, при  $Gh^3 - (c-1)^2 = 0$ . При  $x \rightarrow -\infty$ ,  $\hat{h} \rightarrow 1$ ,  $\hat{h}' \rightarrow 0$  и решение линейной системы дифференциальных уравнений описывается дисперсионным соотношением (13). Имеется только одно  $\sigma = \sigma_1 > 0$ , соответствующее затухающему на минус бесконечности решению:

$$\begin{aligned} \hat{h}^+ &= \exp(\sigma_1(x - x_0)), \\ \hat{q}^+ &= \left[ \beta^2 G / \sigma_1 (c\sigma_1 - \sigma_1 - \lambda) \right] \exp(\sigma_1(x - x_0)), \\ \hat{\pi}^+ &= \beta G / \lambda + \sigma_1 - c\sigma_1 \exp(\sigma_1(x - x_0)). \end{aligned} \quad (16)$$

Поскольку собственная функция определена с точностью до мультипликативной постоянной, выберем  $x = -x_0$ . В таком случае появляются начальные условия для численного интегрирования системы от  $x = -\infty$  (практически, достаточно далеко от горба волны) до  $x = 0$ , где расположен скачок. Однако, как было найдено выше, в точке  $x = x_1$ , в которой  $Gh^3 - (c-1)^2 = 0$ , система имеет особенность дрезслеровского типа. Представим систему в виде, более удобном для дальнейшего исследования, введя новые функции  $\hat{\psi}$  и  $\hat{g}$  из соотношений:

$$\begin{aligned} \hat{h} &= \hat{\psi}', \quad \hat{g} = c(\partial \hat{\psi} / \partial x) - \lambda \hat{\psi} - \beta \int \hat{\pi} dx = c\hat{\psi}' - \lambda \hat{\psi} - \beta \int \hat{\pi} dx, \\ h[Gh^3 - (c-1)^2] \hat{\psi}'' + \{ [Gh^3 + 2(c-1)^2] h' + 2\lambda(c-1)h^2 + 2c(c-1)h - \\ &- h^3 - 2(c-1)^2 \} \hat{\psi}' + [-\lambda^2 h^3 - 2\lambda(c-1)hh' - 2\lambda ch^2 + 2\lambda(c-1)h] \hat{\psi} + \\ &+ \beta \{ (c-1)h^2 \hat{g}' + [-2(c-1)hh' - \lambda h^3 + 2(c-1)h - 2ch^2] \hat{g} \} = 0, \\ \hat{g}'' + \{ (-\lambda/(c-1))h - h'/h \} \hat{g}' + \beta (Gh^2/(c-1)) \hat{\psi}' &= 0. \end{aligned}$$

Вблизи  $x = x_1$  выполняются соотношения:

$$\begin{cases} 3Gb^3 Dh_1(x - x_1) \hat{\psi}'' + a_1 \hat{\psi}' + a_0 \hat{\psi} + k_1 \hat{g}' + s_1 \hat{g} = 0, \\ \hat{g}'' + m \hat{g}' + r \hat{\psi}' = 0, \end{cases}$$

или, при перемещении особенности в начало координат,  $x - x_1 \rightarrow x$ :

$$\begin{cases} x \hat{\psi}'' + a \hat{\psi}' + b \hat{\psi} + k \hat{g}' + s \hat{g} = 0, \\ \hat{g}'' + m \hat{g}' + r \hat{\psi}' = 0. \end{cases}$$

Первое регулярное решение записывается в виде:

$$\hat{\psi} = 1 + A_1 x + A_2 x^2 + \dots,$$

$$A_1 = -b/a, \quad A_{i+1} = -[(i+1)kB_{i+1} + bA_i + sB_i] / (i+1)(a+i),$$

$$\hat{g} = B_2x^2 + B_3x^3 + \dots,$$

$$B_2 = -rA_1/2; \quad B_{i+1} = -[mB_i + rA_i]/(i+1);$$

второе регулярное решение:

$$\hat{\psi} = A_1x + A_2x^2 + \dots,$$

$$A_1 = -s/a, \quad A_{i+1} = -(i+1)kB_{i+1} + bA_i + sB_i/(i+1)(a+i),$$

$$\hat{g} = 1 + B_2x^2 + B_3x^3 + \dots,$$

$$B_2 = -rA_1/2; \quad B_{i+1} = -[mB_i + rA_i]/(i+1);$$

третье регулярное решение:

$$\hat{\psi} = A_1x + A_2x^2 + \dots,$$

$$A_1 = -k/a, \quad A_{i+1} = -(i+1)kB_{i+1} + bA_i + sB_i/(i+1)(a+i),$$

$$\hat{g} = x + B_2x^2 + B_3x^3 + \dots,$$

$$B_2 = -[m + rA_1]/2; \quad B_{i+1} = -[mB_i + rA_i]/(i+1);$$

четвертое сингулярное решение:

$$\hat{\psi} = (-x)^{1-a}[A_1x + A_2x^2 + \dots],$$

$$A_1 = [-b + kB_1(a-2)]/(2-a); \quad A_{i+1} = [-bA_i + kB_{i+1}(a-i-2) + sB_i]/(i+1)(i+2-a),$$

$$\hat{g} = (-x)^{2-a}[B_1 + B_2x + B_3x^2 + \dots],$$

$$B_2 = -r/(a-2); \quad B_{i+1} = rA_i + mB_i/(a-i-2).$$

Общее решение есть суперпозиция четырех решений

$$\hat{\psi} = c_1(\lambda)\psi_1 + c_2(\lambda)\psi_2 + c_3(\lambda)\psi_3 + c_4(\lambda)\psi_4,$$

причем константы  $c_k$  есть функции  $\lambda$ , и для конкретного  $\lambda$  они находятся в ходе численного интегрирования. Подберем  $\lambda$  таким образом, чтобы подавить сингулярное решение  $c_4(\lambda) = 0$ . Это  $\lambda$  и является искомым собственным значением задачи. Нахождение собственного значения  $\lambda$  заканчивается на этом этапе, для нахождения собственной функции необходимо проинтегрировать систему, которая теперь не имеет особенностей, до  $x = 0$ , затем воспользоваться соотношением на скачке (11), чтобы пересчитать  $\hat{h}^+$ ,  $\hat{q}^+$ ,  $\hat{\pi}^+$  на  $\hat{h}^-$ ,  $\hat{q}^-$ ,  $\hat{\pi}^-$ , которые будут функцией  $\hat{r}$ , чтобы в решении на  $0 < x < +\infty$

$$\hat{h}^- = M_1(\hat{r}) \exp(\sigma_1x) + M_2(\hat{r}) \exp(\sigma_2x) + M_3(\hat{r}) \exp(\sigma_3x)$$

подавить единственное растущее на  $+\infty$  решение,  $M_1(\hat{r}) = 0$ .



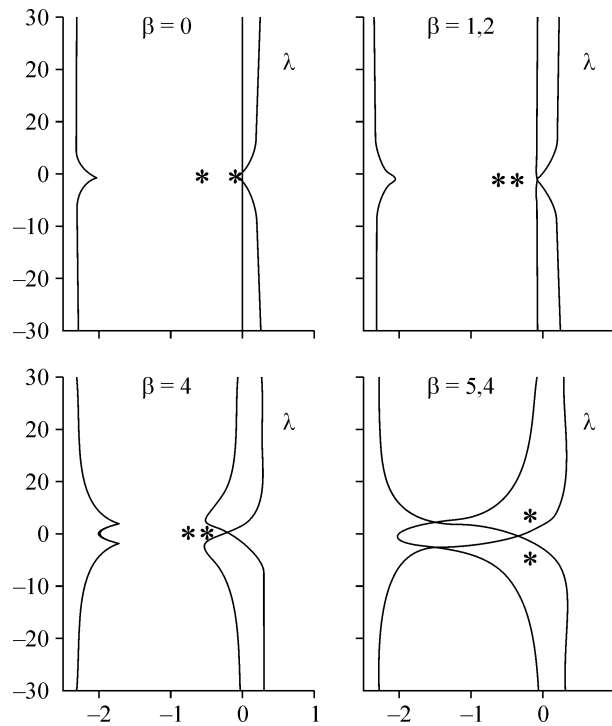


Рис. 3. Непрерывный и дискретный спектр при  $G = 0,1$ , течение турбулентно.

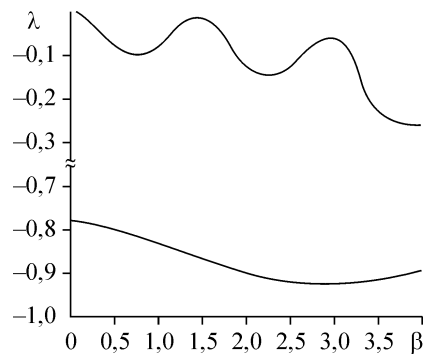


Рис. 4. Устойчивость к трехмерным возмущениям,  $G = 0,1$ .

На рис. 3 изображен непрерывный и дискретный спектр для фиксированного значения  $G$ . В силу бесконечной области по  $x$  весь спектр по  $\lambda$  можно разбить на дискретную и непрерывную части. Дискретный спектр определяет устойчивость горба солитона, а непрерывный спектр  $\Gamma$  отвечает за устойчивость плоского участка солитона.

Построив дискретный спектр (рис. 4), можно судить об устойчивости солитона: если  $\lambda < 0$  для всех  $\beta$ , то катящаяся волна устойчива, если имеется хотя бы одно  $\beta$ , для которого  $\lambda > 0$ , — волна неустойчива. При ненулевом  $\beta \neq 0$ , увеличивая его от нуля, оба корня начинают сближаться, и при  $\beta \approx 5,2$  для  $G = 0,1$  они сливаются и становятся комплексно-сопряженной парой. Но в любом случае  $\lambda < 0$ . Следовательно, двумерные катящиеся волны типа солитонов устойчивы к трехмерным возмущениям.

4. В работе система гидравлических уравнений Дресслера была обобщена для описания трехмерных возмущений. Идея Дресслера об отсутствии сингулярности решений была обобщена для исследования устойчивости двумерных катящихся волн к двумерным и трехмерным возмущениям, и построены спектры. Получен результат об устойчивости стационарных катящихся волн типа солитонов.

#### СПИСОК ЛИТЕРАТУРЫ

1. **Cornish V.** Ocean waves. — Cambridge Univ. Press, 1934. — P. 206.
2. **Dressler R.F.** Mathematical solution of the problem of roll waves in inclined open channels // *Comm. Pure Appl. Math.* — 1949. — Vol. 2. — P. 149–194.
3. **Ляпидевский В.Ю., Тешуков В.М.** Математические модели распространения длинных волн в неоднородной жидкости // Изд. СО РАН, 2000. — 420 с.
4. **Демехин Е.А., Шкадов В.Я.** О трехмерных нестационарных волнах в стекающей пленке жидкости // *Изв. АН СССР. МЖГ.* — 1984. — № 5. — С. 21–27.
5. **Chang H.-C., Demekhin E.A.** Complex wave dynamics on thin films. — Elsevier, 2002. — P. 402.
6. **Oh M., Zumburn K.** Stability of periodic solutions of conservation laws with viscosity: analysis of the Evans function // *Arch. Ration. Mech. Anal.* — 2003. — Vol. 166, No. 2. — P. 99–166.
7. **Jin S., Kim Y.J.** On the computation of roll-waves // *Math. Model. Numer. Anal.* — 2001. — Vol. 35, No. 3. — P. 463–480.
8. **Noble P., Travadel S.** Non-persistence of roll-waves under viscous perturbations // *Disc. Cont. Dynam. Sys.-Ser.* — 2001. — Vol. 1, No. 1. — P. 61–70.
9. **Kranenburg C.** On the evolution of roll-waves // *J. Fluid Mech.* — 1992. — Vol. 245. — P. 249–261.

*Статья поступила в редакцию 27 мая 2005 г.*